# 最优传输的理论与计算 Minkowski-Alexandrov 凸几何理论



顾险峰 纽约州立大学石溪分校计算机科学系





图: 教课书《最优传输理论和计算》.

Minkowski 问题 给定 k 单位向量  $n_1, \dots, n_k$  不 包含在  $\mathbb{R}^n$  的半空间内,  $A_1, \dots, A_k > 0$ ,满足

$$\sum_{i=1}^k A_i \mathbf{n}_i = \mathbf{0},$$

找到一个紧的凸多面体 P, 具有 k 个余维数为 1 的面  $F_1, \dots, F_k$ , 满足  $F_i$  的体积等于  $A_i$ ,  $F_i$  的法向量等于  $\mathbf{n}_i$ .

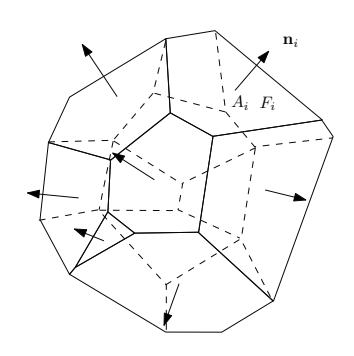


图: Minkowski 问题。

定理 (Minkowsi) 凸多面体 P 存在,并且直至相 差一个平移唯一。

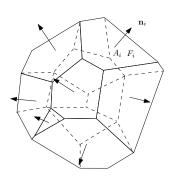


图: Minkowski 问题。

## 定理 (Alexadnrov 1950)

 $\Omega$  是  $\mathbb{R}^n$  中的紧凸区域, $p_1, \ldots, p_k$  是  $\mathbb{R}^n$  中不同的向量, $A_1, \ldots, A_k > 0$ ,满足  $\sum A_i = vol(\Omega)$ ,那么存在凸的 分片线性函数,直至相差一个常数唯一,

$$u(x) = \max_{i=1}^{k} \{ \langle p_i, x \rangle - h_i \},$$

满足

$$vol(W_i) = A_i, \quad W_i = \{x | \nabla u(x) = p_i\}.$$

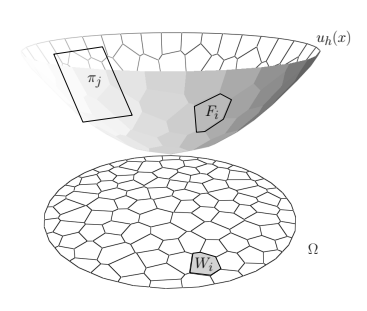


图: Alexandrov 定理.

Alexandrov 定理等价于半离散最优传输映射。令  $\Omega \subset \mathbb{R}^d$  是紧 凸集,测度  $\mu$  绝对连续,目标测度为 Dirac 测度之和,

$$\nu = \sum_{i=1}^{n} \nu_i \delta(y - y_i),$$

满足条件  $\mu(\Omega) = \sum_{i=1}^n \nu_i$ ,传输代价函数为欧氏距离平方  $c(x,y) = \frac{1}{2}|x-y|^2$ ,则存在唯一的最优传输映射  $T: (\Omega,\mu) \to (\{y_i\}_{i=1}^n,\nu)$ , $T=\nabla u$ ,这里 Briener 势能函数  $u:\Omega\to\mathbb{R}$  为分片线性凸函数,u 并不唯一,彼此相差一个常数:

$$u(x) = \max_{i=1}^{n} \{ \langle x, y_i \rangle - h_i \},$$

u 的图是支撑平面  $\langle x, y_i \rangle = h_i$  的上包络。

Brenier 势能函数投影诱导  $\mathbb{R}^d$  的一个胞腔分解

$$\Omega = \bigcup_{i=1}^{n} W_i(u), \quad W_i(u) = \{x \in \Omega | \nabla u = y_i\}.$$

最优传输映射将每个胞腔  $W_i(u)$  映到目标点  $y_i$ ,  $T:W_i(u) \mapsto y_i$ ; Legendre 对偶  $u^*$  的图是支撑平面对偶点  $\{(y_i,h_i)\}_{i=1}^n$  的凸包。

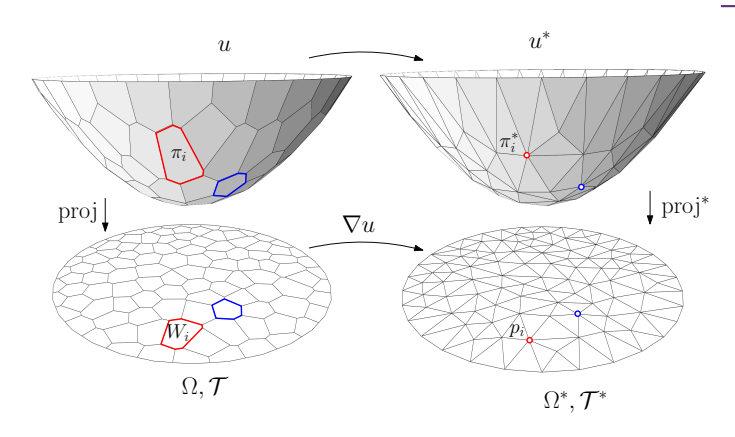


图: 离散最优传输映射 (从左到右): 把  $W_i$  映到  $p_i$ . 离散的 Monge-Ampère 方程 (从右到左):  $\mu_{\sigma}(W_i)$  是  $p_i$  的离散 Hesse 行列式.

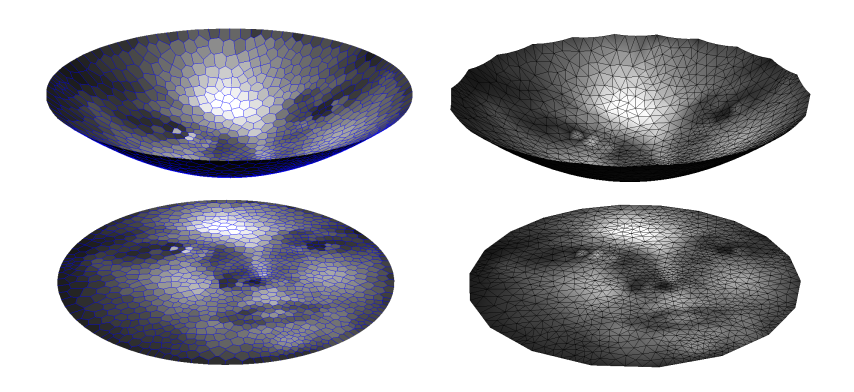


图: 离散最优传输映射。

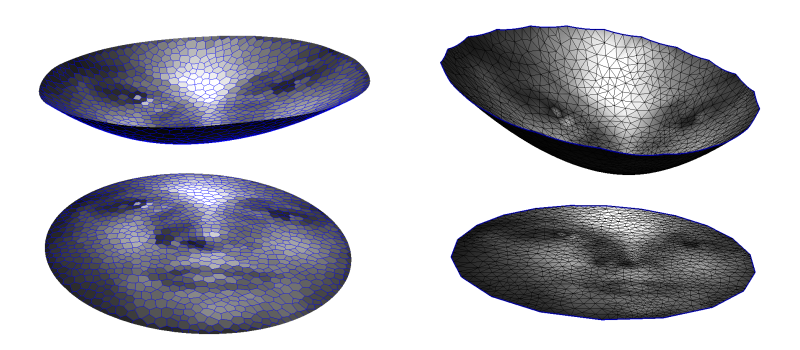


图: 离散最优传输映射。

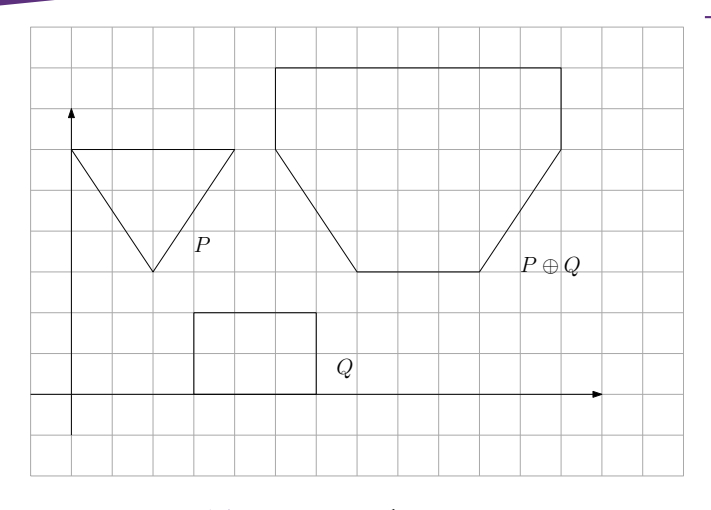


图: Minkowski 和  $P \oplus Q$ .

定义 (Minkowski 和)

给定两个集合  $P, Q \subset \mathbb{R}^d$ , 它们的 Minkowski 和定义为

$$P\oplus Q:=\{p+q:p\in P\ \underline{\mathbb{H}}\ q\in Q\}.\quad \Box$$

Minkowski 和可以重写为

$$P \oplus Q = \bigcup_{q \in Q} P \oplus \{q\}.$$

定义 (Minkowski 扩张)

给定一个集合  $P \subset \mathbb{R}^d$  和常数  $s \ge 0$ , 以 s 为因子的 Minkowski 扩张 (dilation) 定义为

$$sP := \{sp : p \in P\}. \quad \Box$$

定理 (Minkowski 和的多项式性质)

令 P 和 Q 为  $\mathbb{R}^3$  上的凸体,线性组合  $sP \oplus tQ$  的体积是非负实数 s 和 t 的三次多项式,

$$V(sP \oplus tQ) = V(P)s^3 + 3V(P, P, Q)s^2t + 3V(P, Q, Q)st^2 + V(Q)t^3,$$

这里 
$$V(P, P, Q)$$
 和  $V(P, Q, Q)$  被称为混合体积.

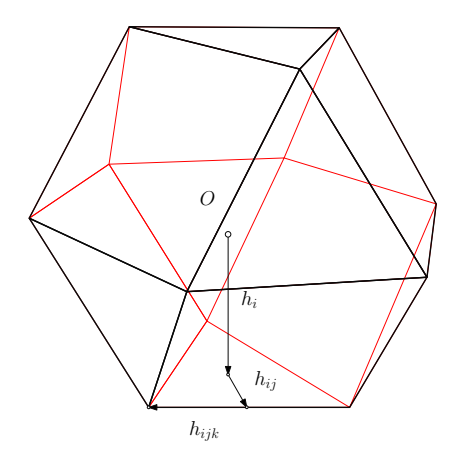


图: 具有高度  $h_i, h_{ij}, h_{ijk}$  的凸多面体.

证明.

设  $X = sP_1 \oplus tP_2$ ,  $P_1$  和  $P_2$  具有相同的组合结构. X 的体积为

$$V(X) = \frac{1}{3} \sum_{i=1}^{n} h_i A(f_i) = \frac{1}{3} \sum_{i=1}^{n} h_i \frac{1}{2} \sum_{j} h_{ij} L(e_{ij})$$

$$= \frac{1}{3} \sum_{i=1}^{n} h_i \frac{1}{2} \sum_{j} h_{ij} \sum_{k=1}^{2} h_{ijk} = \frac{1}{6} \sum_{i,j,k} h_i h_{ij} h_{ijk}$$

$$= \frac{1}{6} \sum_{i,j,k} (sh_i^{(1)} + th_i^{(2)}) (sh_{ij}^{(1)} + th_{ij}^{(2)}) (sh_{ijk}^{(1)} + th_{ijk}^{(2)})$$

$$= \frac{1}{6} \sum_{i,j,k} (h_i^{(1)} h_{ij}^{(1)} h_{ijk}^{(1)} s^3 + h_i^{(1)} h_{ij}^{(1)} h_{ijk}^{(2)} s^2 t$$

$$+ h_i^{(1)} h_{ij}^{(2)} h_{ijk}^{(2)} st^2 + h_i^{(2)} h_{ij}^{(2)} h_{ijk}^{(2)} t^3),$$

# 引理(体积导数)

令 P 是一个凸多面体,假设其第 i 个面  $f_i$  的法向为  $n_i$ ,支撑距离  $h_i$ ,则

$$P := \{ x \in \mathbb{R}^d : \langle n_i, x \rangle \le h_i, \forall i = 1, \dots, n \}.$$

设  $f_i$  的体积为  $A_i$ , 则

$$\frac{\partial V(\mathbf{h})}{\partial h_i} = A_i. \quad \blacklozenge \tag{1}$$

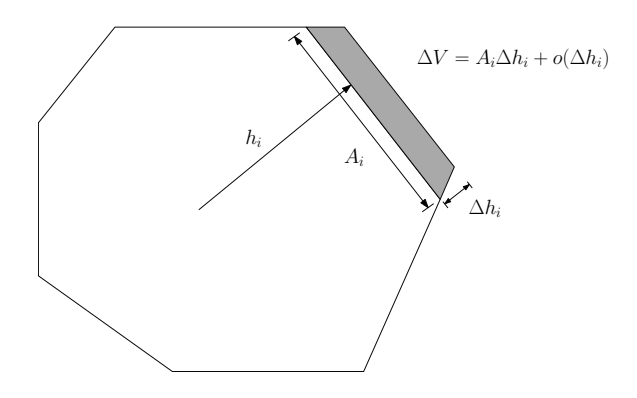


图: 凸多面体体积导数  $\partial/\partial h_i = A_i$ .

证明.

如前页图所示, 如果我们把支撑距离从  $h_i$  增大到  $h_i + \Delta h_i$ , 体积增量是厚度  $\Delta h_i$  乘以面积  $A_i$  再加上高阶项,

$$\Delta V = A_i \Delta h_i + o(\Delta h_i),$$

因此

$$\frac{\partial V}{\partial h_i} = A_i.$$

由于 Minkowski 和趋向于"圆滑化"所添加的形状, 因此 Minkowski 和的体积超过了所添加形状的体积和.

定义(位似)

两个多面体 A 和 B 是位似的, 如果它们的形状是相似的, 并且所处的位置和定向也是相似的, 这意味着存在一个平移和扩张使得

$$A = rB \oplus \{x\}.$$

定理 (Brunn-Minkowski 不等式)

令真子集  $A, B \subset \mathbb{R}^d$  为凸集, 并且  $0 \le \lambda \le 1$ , 则

$$V((1-\lambda)A \oplus \lambda B)^{\frac{1}{d}} \ge (1-\lambda)V(A)^{\frac{1}{d}} + \lambda V(B)^{\frac{1}{d}}, \qquad (2)$$

等号成立当且仅当 A 和 B 是位似的.

定理 (Minkowski 不等式)

假设  $\mathbb{R}^3$  中有界凸多面体 P 和 P',带有相同的法线  $\{v_i\}_{i=1}^n$ . 令  $A_i$ ,  $h_i$  和  $A'_i$ ,  $h'_i$  表示沿着  $v_i$  方向上的面积和支撑距离,某些面积可能为 O. 则混合体积 V(P,P',P') 满足

$$V(P, P', P') = \frac{1}{3} \sum_{i=1}^{n} h_i A'_i \ge V(P)^{1/3} V(P')^{2/3}.$$
 (3)

如果等式成立,则 
$$P$$
 和  $P'=cP+a$  相差一个位似变换.

证明.

$$V((1-t)A \oplus tB) = V(A)(1-t)^3 + 3V(A, A, B)(1-t)^2t + 3V(A, B, B)(1-t)t^2 + V(B)t^3,$$

由 Brunn-Minkowski 不等式,  $f:[0,1] \to \mathbb{R}$  是非负下凹函数,

$$f(t) = V((1-t)A \oplus tB)^{\frac{1}{3}} - (1-t)V(A)^{\frac{1}{3}} - tV(B)^{\frac{1}{3}}.$$

在 t=0 处微分,由

$$0 \le \frac{\partial f}{\partial t}\big|_{t=0} = V(A)^{-\frac{2}{3}} [-V(A) + V(A, A, B)] + V(A)^{\frac{1}{3}} - V(B)^{\frac{1}{3}}$$

得出结果. 等式成立蕴含  $f(t)\equiv 0$ , 由 Brunn-Minkowski 定理, A、 B 位似.

定理 (Minkowski 多面体的唯一性)

假设  $\mathbb{R}^3$  中两个有界凸多面体 P 和 P', 其相应外法线  $v_i = v_i'$  和相应面积  $A_i = A_i' > 0$  重合, 则 P' 和 P 相差一个平移.

证明.

因为  $A_i = A'_i$ , 则混合体积

$$V(P, P', P') = \frac{1}{3} \sum_{i=1}^{n} h_i A'_i = \frac{1}{3} \sum_{i=1}^{n} h_i A_i = V(P).$$

由 Minkowski 不等式,

$$V(P) = V(P, P', P') \ge V(P)^{1/3} V(P')^{2/3},$$

有  $V(P) \geq V(P')$ , 同理得到  $V(P') \geq V(P)$ . 因此 V(P) = V(P') 且 Minkowski 不等式中的等式成立, 因此 P 和 P' 相差一个位似变换. 体积相同, c=1, P 和 P' 相差一个平移.

 $v_1, ..., v_{n+1}$  和 n+1 个面  $f_1, ..., f_{n+1}$ . 我们将顶点和面进行编 号, 使得  $f_k$  是顶点  $v_k$  正对的面,  $v_k \notin f_k$ . 我们同样选择 n+1 种 不同的颜色  $\{1, 2, \ldots, n, n+1\}$ , 并用第 k 种颜色对  $v_k$  进行染色. 现在我们考虑  $\Delta^n$  的一个三角剖分 T. 假设三角剖分中的所有顶 点都被染色, 使得在每个面上, 我们只使用该面上  $n \wedge \Delta^n$  的顶 点的颜色, 亦即我们不使用第 k 种颜色对面  $f_k$  上的新顶点染色. 这种染色被称为一个 Sperner 染色, 下图显示了一个 Sperner 染 色的例子. 如果存在三角剖分的一个 n 维单纯形  $\sigma \in \mathcal{T}$ , 且  $\sigma$  的 所有 n+1 顶点染色都不同, 则  $\sigma$  被称为关于颜色  $\{1, 2, ..., n, n+1\}$  的一个全色单纯形.

#### 定理 (Sperner 引理)

给定  $\Delta^n$  的一个三角剖分 T, 任给一个 Sperner 染色, 则总存在 奇数个全色单纯形.

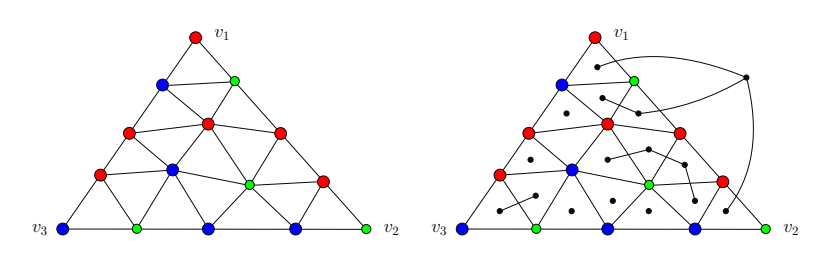


图: Sperner 染色,提供了一种计算方法.

基于 Sperner 引理, 我们可以证明闭单位球体  $B^n \subset \mathbb{R}^n$  的不动点 定理, 这个定理最早由 Brouwer 提出.

定理 (Brouwer 不动点)

单位闭球的任意连续自映射  $f\colon B^n\to B^n$  都存在一个不动点: 即有一个点  $x\in B^n$  具有性质 f(x)=x.

由 Brouwer 不动点定理, 我们得到区域不变性定理。

定理 (区域不变性)

设  $U \subseteq \mathbb{R}^n$  为一个开子集. 若  $f: U \to \mathbb{R}^n$  是连续单射,则 f(U) 也是  $\mathbb{R}^n$  的一个开子集.

定理 (Alexandrov 映射引理)

假设  $\varphi: A \to B$  是 d 维流形之间的一个映射, 且满足下列条件:

- ▶ B 的每个连通分支都包含 A 的像点;
- ▶ φ 是单射;
- ▶ *φ* 是连续的;
- ▶  $\varphi$  具有闭图 (closed graph): 如果  $\{B_j\} \subset \mathcal{B}$  是一个像点的收敛序列,即对任意 j,都存在某个  $A_j \in \mathcal{A}$ ,使得  $B_j = \varphi(A_j)$ ;同时当  $j \to \infty$  时,序列  $\{B_j\}$  收敛于 B.那么存在  $A \in \mathcal{A}$ ,使得  $\varphi(A) = B$ ;并且存在  $\{A_i\}$  的一个子序列  $\{A_{i_k}\}$ ,当  $k \to \infty$  时,  $\{A_i\}$  收敛于 A.

那么  $\varphi$  是满射, 即  $\varphi(A) = B$ .

## 定义(半球条件)

法向量集合不能被任何封闭半球 (hemisphere) 所包含. 等价地, 法向量的正锥 (positive cone)

$$_{+}(\mathcal{N}) = \left\{ X = \sum_{i=1}^{n} \theta_{i} v_{i} : \theta_{i} \ge 0 \right\}$$

覆盖整个空间  $\mathbb{R}^d$ .

举例而言, 否则, 存在一个单位向量 w, 使得

$$\langle v_i, w \rangle \ge 0, \quad \forall i = 1, \dots, n.$$

多面体在负的 w 方向不会封闭, 会出现一个体积无穷大的面.

定理 (离散 Minkowski 问题解的存在性)

假设有  $n \geq d+1$  个不同的单位向量  $\mathcal{N} = \{v_1, v_2, \cdots, v_n\}$ ,  $v_i \in \mathbb{S}^{d-1}$  满足半球条件,正实数  $\{\beta_1, \beta_2, \dots, \beta_n\}$  满足以下条件

$$\sum_{i=1}^{n} \beta_i v_i = 0. \tag{4}$$

则存在一个凸多面体  $P \subset \mathbb{R}^d$ , P 具有 n 个面, 对所有的  $k=1,\ldots,n$ , 对应的第 k 个面的外单位法向量等于  $v_i \in \mathcal{N}$ , 体积等于  $\beta_k$ . 这样的凸多面体彼此相差一个平移.

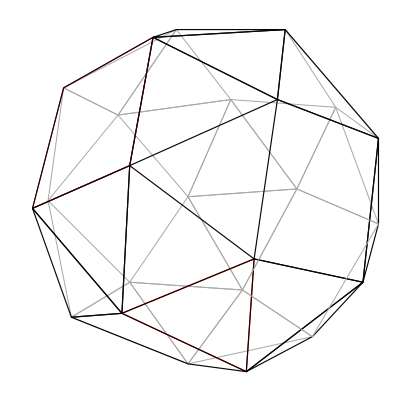


图: 凸多面体.

凸多面体 P 的支撑平面表示为  $\langle x, v_i \rangle = h_i$ ,其中  $h_i$  是它的支撑距离. 多面体 P 可以表示为半空间的交集,

$$P = \bigcap_{i=1}^{n} \left\{ x \in \mathbb{R}^d : \langle x, v_i \rangle \le h_i \right\}.$$

固定所有的法向量, 我们可以用  $P(\mathbf{h})$  来表示如此定义的多面体, 其中  $\mathbf{h} = (h_1, \dots, h_n)$ .

设多面体相应面的体积为  $(A_1, \ldots, A_n)$ . 如果我们将多面体投影到超平面  $x_k = 0$  上,则因为 P 是封闭的,投影的有向总体积为 0. 这意味着

$$\sum_{i=1}^{n} A_i \langle v_i, e_k \rangle = \left\langle \sum_{i=1}^{n} A_i v_i, e_k \right\rangle = 0.$$

等式对所有的  $k=1,2,\ldots,n$  都成立, 因此我们得到

$$\sum_{i=1}^{n} A_i v_i = 0.$$

我们定义可容许高度向量空间. 首先, 我们定义 升 空间为

$$\mathcal{H} := \{(h_1, \dots, h_n) \in \mathbb{R}^n : A_k(\mathbf{h}) > 0 \not \exists \exists h_k > 0, k = 1, \dots, n\}.$$

给定一个多面体  $P(\mathbf{h})$ , 如果我们将其平移, 平移向量为  $w \in \mathbb{R}^d$ , 那么多面体  $P \oplus w$  的形状是不变的. 由此, 我们定义一个等价关系,

$$\mathbf{h_1} \sim \mathbf{h_2} \in \mathcal{H} \iff \exists w \in \mathbb{R}^d, \text{ s.t. } \mathbf{h_1} - \mathbf{h_2} = (\langle w, v_1 \rangle, \langle w, v_2 \rangle, \dots, \langle w, v_n \rangle).$$

所以可容许高度向量空间由  $\mathcal{H}/\sim$  给定.

证明.

让我们为高度向量定义一个特殊的空间,

$$\Omega := \mathcal{H}/\sim \bigcap \{\mathbf{h} \in \mathbb{R}^n : h_1\beta_1 + h_2\beta_2 + \dots + h_n\beta_n = 1\}.$$

容易看出

$$\frac{1}{\beta_1 + \beta_2 + \dots + \beta_n} (1, 1, \dots, 1) \in \Omega,$$

Ω 是非空的,而且它是两个凸集的交,所以 Ω 也是凸的. 我们考虑以下最优问题: 在空间 Ω 中极大化体积  $u(\mathbf{h})$ ,

$$\max_{\mathbf{h}\in\Omega}\ u(\mathbf{h}).$$

证明.

用 Lagrange 乘子法,

$$\max_{\mathbf{h} \in \mathcal{H}/\sim} \left\{ u(\mathbf{h}) - \lambda \left( \sum_{i=1}^{n} \beta_i h_i - 1 \right) \right\},\,$$

可以证明最优点是  $\Omega$  的内点而不在边界  $\partial\Omega$  上. 假设体积在内点  $\mathbf{h}^* \in \Omega$  上达到极大, 则在  $\mathbf{h}^*$  我们有

$$\frac{\partial u}{\partial h_i}(\mathbf{h}^*) - \lambda \beta_i = A_i(\mathbf{h}^*) - \lambda \beta_i = 0.$$

然后我们把整个多面体放大  $\lambda^{-\frac{1}{d-1}}$  倍, 就得到期望的结果.

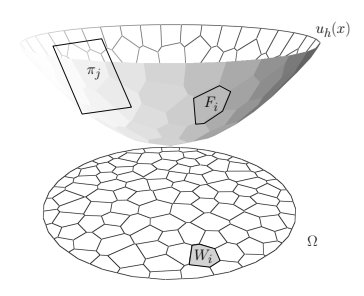


图: Alexandrov 定理.

每个面  $F_i$  的支撑超平面为  $\pi_i(x) = \langle x, p_i \rangle - h_i$ ,凸多面体等 于超平面的上包络

$$P(\mathbf{h}) = (\pi_1(\mathbf{h}), \pi_2(\mathbf{h}), \dots, \pi_n(\mathbf{h})).$$

 $P(\mathbf{h})$  可以表示成一个分片线性 凸函数的图,  $u_{\mathbf{h}}: \mathbb{R}^d \to \mathbb{R}$ ,

$$u_{\mathbf{h}}(x) := \max_{1 \le i \le n} \{ \pi_i(\mathbf{h}, x) \}. \quad (5)$$

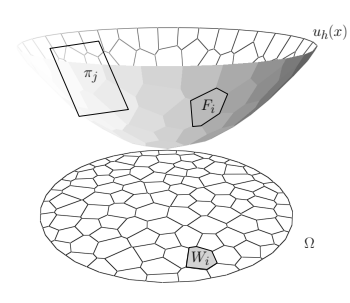


图: Alexandrov 定理.

 $P(\mathbf{h})$  向  $\mathbb{R}^d$  投影, 得胞腔分解,

$$\mathbb{R}^d = \bigcup_{1 \le i \le n} W_i(\mathbf{h}).$$

 $F_i$  对应着一个胞腔  $W_i(\mathbf{h})$ ,

$$W_i(\mathbf{h}) := \{ x \in \mathbb{R}^d | \nabla u_{\mathbf{h}}(x) = p_i \}.$$

假设  $\Omega \subset \mathbb{R}^d$  是凸集,则  $P(\mathbf{h})$  的投影也构成  $\Omega$  的一个胞腔分解,每个胞腔的体积记为  $w_i(\mathbf{h})$ ,

$$w_i(\mathbf{h}) := \text{vol}(W_i(\mathbf{h} \cap \Omega)).$$
 (6)

#### Alexandrov 定理有多种证明:

- 1. 最优传输理论中的 Brenier 定理;
- 2. 凸几何中的 Alexandrov 映射引理;
- 3. 几何变分法;

令  $\mu$  为定义在  $\Omega$  上的 Lebesgue 测度,  $\nu = \sum_{i=1}^{n} A_i \delta(y - p_i)$ , 令 传输代价函数为欧氏距离的平方,  $c(x,y) = \frac{1}{2}|x-y|^2$ , 由 Brenier 定理, 存在一个凸函数  $u: \Omega \to \mathbb{R}$ , 其梯度映射  $\nabla u: \Omega \to \{p_1, p_2, \cdots, p_n\}$  给出了最优传输映射. 凸函数 u 几乎 处处  $C^2$ , 诱导了  $\Omega$  的一个胞腔分解:

$$\Omega = \bigcup_{1 \le i \le n} W_i = \bigcup_{1 \le i \le n} (\nabla u)^{-1} (p_i).$$

因此在每一个胞腔  $W_i$  上, Brenier 势能函数的梯度为常数, 必为线性函数  $\langle p_i, x \rangle - h_i$ , Brenier 势能函数为分片线性函数, 即  $u(x) = \max_{1 \leq i \leq n} \{\langle p_i, x \rangle - h_i\}$ . 由最优传输映射的唯一性, 高度向量相差一个常数.

第二个证明是基于 Alexandrov 映射引理。我们构造可容许高度 向量空间

$$\mathcal{A} := \{ \mathbf{h} : w_i(\mathbf{h}) > 0, i = 1, 2, \dots, n \} \bigcap \left\{ \mathbf{h} : \sum_{i=1}^n h_i = 0 \right\}$$

和可容许体积空间

$$\mathcal{B} := \left\{ \mathbf{A} : \sum_{i=1}^{n} A_i = \operatorname{vol}(\Omega), \quad A_i > 0, \quad i = 1, 2, \dots, n \right\},\,$$

则 A 和 B 都是 n-1 维流形. 映射  $\varphi: A \to B$  将高度向量 h 映 到凸多面体 P(h), 再得到余维数为 1 面的体积向量 A. 我们下面 验证  $\varphi$  满足 Alexandrov 映射引理的 4 个条件.

条件 1. 不失一般性, 我们可以通过平移、缩放使得  $\{p_1,p_2,\cdots,p_n\}\subset\Omega$ , 选择

$$h_i = \frac{1}{2} \langle p_i, p_i \rangle, \quad i = 1, 2, \dots, n,$$

则 P(h) 的投影是经典的 Voronoi 图, 每个胞腔的内部非空, 因此

$$\mathbf{h}_0 := \left(\frac{1}{2}|p_1|^2, \frac{1}{2}|p_2|^2, \dots, \frac{1}{2}|p_n|^2\right) \in \mathcal{A},$$

$$\varphi(\mathbf{h}_0) \in \mathcal{B}.$$

条件 2. 假设存在  $\mathbf{h}_1$  和  $\mathbf{h}_2$ , 满足  $\varphi(\mathbf{h}_1) = \varphi(\mathbf{h}_2) = (A_1, A_2, \dots, A_n)$ . 构造 Minkowski 和  $(1 - \lambda)P(\mathbf{h}_1) \oplus \lambda P(\mathbf{h}_2)$ , 则其投影为  $(1 - \lambda)W_i(\mathbf{h}_1) \oplus \lambda W_i(\mathbf{h}_2)$ , 由 Brunn-Minkowski 不等式, 我们有

$$((1 - \lambda) W_i(\mathbf{h}_1) \oplus \lambda W_i(\mathbf{h}_2))^{\frac{1}{d}}$$

$$\geq (1 - \lambda) (W_i(\mathbf{h}_1))^{\frac{1}{d}} + \lambda (W_i(\mathbf{h}_2))^{\frac{1}{d}} = A_i^{\frac{1}{d}}$$

并且

$$\sum_{i=1}^{n} ((1-\lambda) W_i(\mathbf{h}_1) \oplus \lambda W_i(\mathbf{h}_2)) = \sum_{i=1}^{n} A_i,$$

因此, 对于所有的 i 等号都成立.

因此胞腔  $W_i(\mathbf{h}_1)$  和  $W_i(\mathbf{h}_2)$  彼此相位似,又因为相应的体积相等,因此彼此相差一个平移.又因为邻接条件,两个胞腔分解相差一个平移.考虑到  $\Omega$  固定,边界胞腔体积相同,则两个胞腔分解重合,由此得到  $P(\mathbf{h}_1)$  和  $P(\mathbf{h}_2)$  相差一个垂直平移.最后由高度向量的归一化条件,我们得到  $\mathbf{h}_1 = \mathbf{h}_2$ .由此得到映射  $\varphi$  是单射.

条件 3. 由构造方法, 我们可以直接证明投影体积  $w_i(\mathbf{h})$  是高度向量的 d 次多项式, 由此映射  $\varphi(\mathbf{h}) = \mathbf{A}(\mathbf{h})$  是连续映射.

条件 4. 如果存在一个序列  $\{\mathbf{h}_i\} \subset \mathcal{A}$ , 其像为  $\{\mathbf{A}_i\} \subset \mathcal{B}$ ,  $\varphi(\mathbf{h}_i) = \mathbf{A}_i$ . 同时当  $j \to \infty$  时, 序列  $\{\mathbf{A}_j\}$  收敛于  $\mathbf{A}$ .  $\mathcal{A}$  中的归一 化条件  $\sum_{i=1}^n h_i = 0$  可以等价地修改为  $h_1 = 0$ , 那么对于任意的 支持平面  $\pi_k(\mathbf{h})$ ,  $\pi_1(\mathbf{h})$  和  $\pi_k(\mathbf{h})$  交线的投影落在紧集  $\overline{\Omega}$  内, 故  $h_k$  上下有界,  $h_k \in [\alpha_k, \beta_k]$ . 因此我们得到  $\mathcal{A}$  是有界的,

$$\mathcal{A} \subset \{0\} \times [\alpha_1, \beta_1] \times [\alpha_2, \beta_2] \times \cdots \times [\alpha_n, \beta_n].$$

因此序列  $\{\mathbf{h}_i\}$  存在收敛子列  $\{\mathbf{h}_{n_k}\}$ ,  $\lim_{k\to\infty}\mathbf{h}_{n_k}=\mathbf{h}$ , 于是我们有

$$\mathbf{A} = \lim_{k \to \infty} \mathbf{A}_{n_k} = \lim_{k \to \infty} \varphi(\mathbf{h}_{n_k}) = \varphi(\lim_{k \to \infty} \mathbf{h}_{n_k}) = \varphi(\mathbf{h}),$$

这就证明了闭图像条件.

由 Alexandrov 映射引理, 映射  $\varphi: A \to \mathcal{B}$  是满射, 即拓扑同胚. 这就证明了 Alexandrov 多面体的存在性和唯一性定理.

更多的信息,请联系 gu@cs.stonybrook.edu

# 谢谢!

# 最优传输的理论与计算球面最优传输理论



顾险峰 纽约州立大学石溪分校计算机科学系





图: 教课书《最优传输理论和计算》.

- ▶ 在深度学习之前,我们通过微分方程来理解世界;
- ▶ 在深度学习之后,我们通过概率统计来理解世界;
- ▶ 在最优传输理论中,我们通过微分方程来理解概率统计。

#### 最优传输的几何观点口诀:

- ▶ 代价变换支撑
- ▶ 支撑包络势能
- ▶ 势能微分映射
- ▶ 映射对偶凸壳

#### Minkowski 问题

给定 k 单位向量  $n_1, \dots, n_k$  不包含在  $\mathbb{R}^n$  的半空间内, $A_1, \dots, A_k > 0$ ,满足

$$\sum_{i=1}^k A_i \mathbf{n}_i = \mathbf{0},$$

找到一个紧的凸多面体 P,具有 k 个余维数为 1 的面  $F_1, \dots, F_k$ ,满足  $F_i$  的体积等于  $A_i$ , $F_i$  的法向量等于  $\mathbf{n}_i$ .

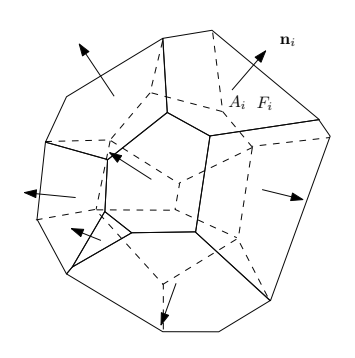


图: Minkowski 问题。

定理 (Minkowsi) 凸多面体 P 存在,并且直至相 差一个平移唯一。

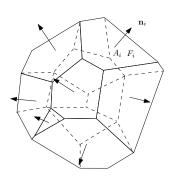


图: Minkowski 问题。

### 定理 (Alexadnrov 1950)

 $\Omega$  是  $\mathbb{R}^n$  中的紧凸区域, $p_1,\ldots,p_k$  是  $\mathbb{R}^n$  中不同的向量, $A_1,\ldots,A_k>0$ ,满足  $\sum A_i=vol(\Omega)$ ,那么存在凸的 分片线性函数,直至相差一个常数唯一,

$$u(x) = \max_{i=1}^{k} \langle p_i, x \rangle - h_i,$$

满足

$$vol(W_i) = A_i, \quad W_i = \{x | u(x) = p_i\}.$$

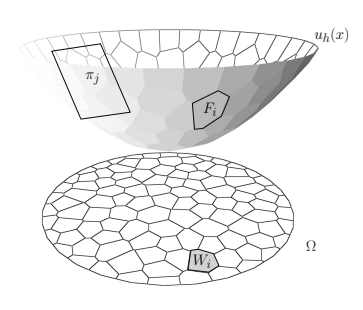


图: Alexandrov 定理.

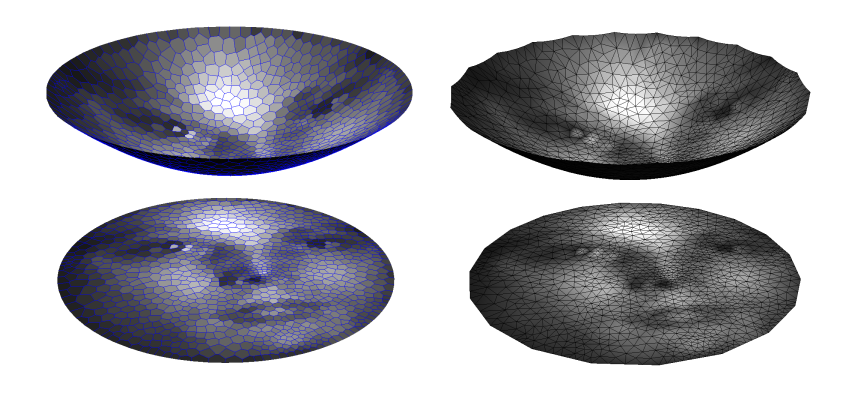


图: 离散最优传输映射。

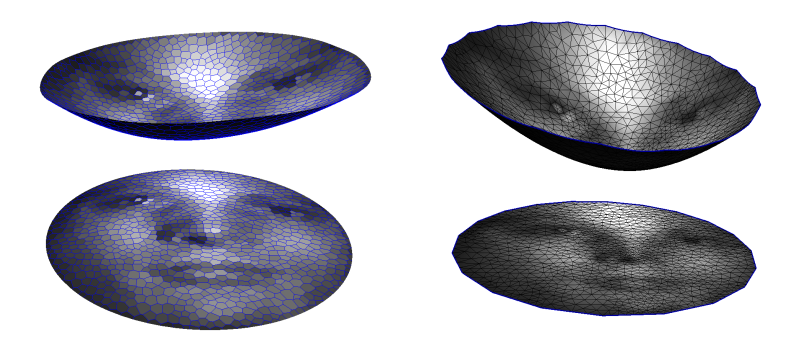


图: 离散最优传输映射。

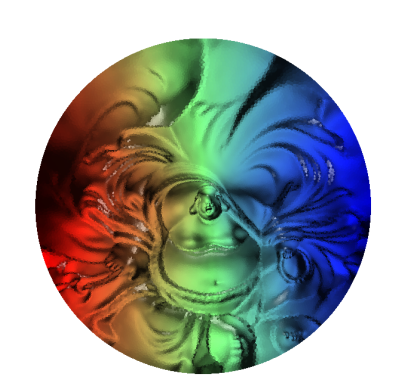


欢喜佛曲面



黎曼映照

图: 共形映射。



黎曼映照



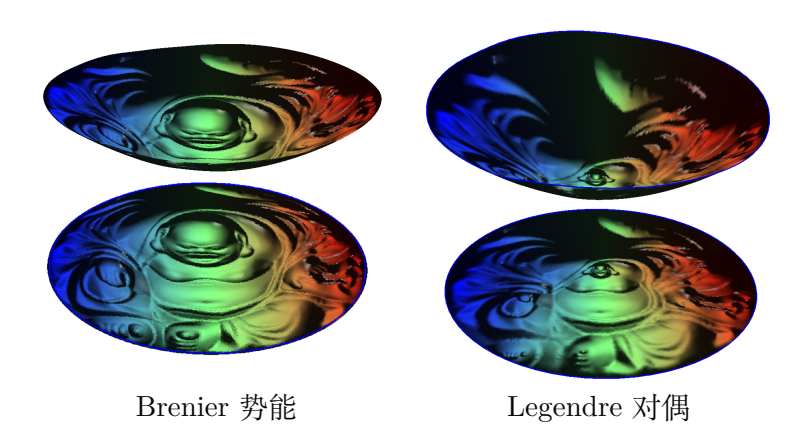
最优传输映射

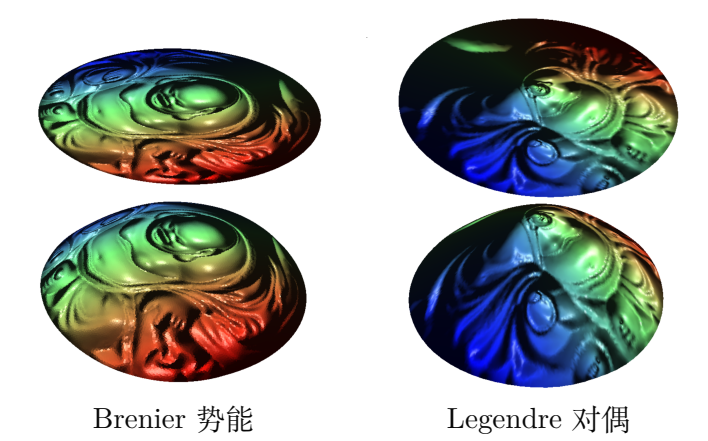


黎曼映照



最差传输映射



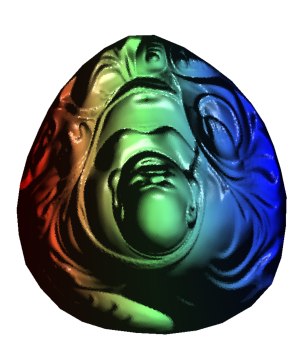




共形映射



最优映射



最差映射

令  $K \subset \mathbb{R}^d$  为一个包含原点的有界开凸域,用极坐标将边界  $\partial K$  参数化:

$$\partial K = \{ \rho(x)x : x \in \mathbb{S}^{d-1}, \rho : \mathbb{S}^{d-1} \to \mathbb{R}^+ \}.$$

定义(次法向量映射)

对任意一个点  $z \in \partial K$ , 次法向量映射将点 z 映射到单位球面上的闭集,  $z \mapsto N_K(z)$ ,

$$N_K(z) := \left\{ y \in \mathbb{S}^{d-1} : K \subset \left\{ w : \langle y, w - z \rangle \le 0 \right\} \right\}. \quad \blacklozenge \quad (1)$$

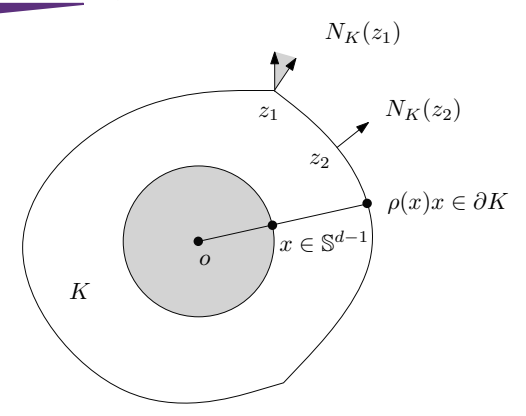


图: 给定一个凸集  $K \ni 0$ ,我们用极坐标来参数化它的边界,极坐标用映射  $\rho: \mathbb{S}^{d-1} \to \mathbb{R}^+$  来表示. 给定一个点  $z \in \partial K$ ,集合  $N_K(z)$  由所有在 z 处的外法向量构成. 当 K 在点 z 有唯一的切平面 (比如点  $z_2$ ), $N_k(z)$  是独点集 (singleton). 如果 z 是一个角点,则  $N_K(z)$  包含多个元素 (比如  $z_1$ ).

# 定义 (Gauss 映射)

多值的 Gauss 映射  $G_K: \mathbb{S}^{d-1} \to \mathbb{S}^{d-1}$ , 定义如下:

$$G_K(x) := N_K(\rho(x)x).$$

定义 Gauss 曲率测度:

$$\mu_K(E) := \mathcal{H}^{d-1}(G_K(E)), \quad \forall \text{ Borel } \underset{}{\text{\ensuremath{$\downarrow$}}}{\text{\ensuremath{$\downarrow$}}} E \subset \mathbb{S}^{d-1}.$$

其中  $\mathcal{H}^{d-1}$  表示  $\mathbb{S}^{d-1}$  上的 d-1 维 Hausdorff 测度. 可以证明  $\mu_K$  是一个 Borel 测度.

问题 (Minkowski I)

在球面  $\mathbb{S}^{d-1}$  上给定一个 Borel 测度  $\nu$ , 我们能否找到一个有界 开凸集  $K \ni 0$ , 使得  $\nu = \mu_K$ ?

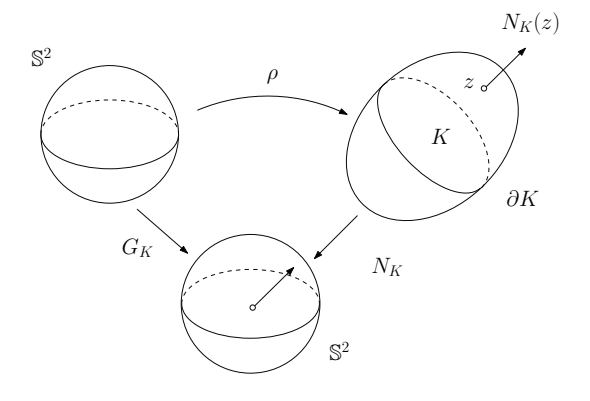


图: Minkowski 问题 I.

定义(球面凸集和极集)

令球面子集  $\omega \subset \mathbb{S}^{d-1}$ , 我们说  $\omega$  是凸的, 如果锥

$$\mathbb{R}^+\omega := \{tx : t > 0, x \in \omega\}$$

是凸的. 我们把  $\omega$  极集 (polar set) 定义为

$$\omega^* := \{ y \in \mathbb{S}^{d-1} : \langle x, y \rangle \le 0, \forall x \in \omega \}. \quad \Box$$

定理 (Minkowski I)

令  $\nu$  为  $\mathbb{S}^{d-1}$  上的一个 Borel 测度. 则存在有界凸域 K, 使得

$$\nu = \mu_K \iff \begin{cases} (a) \ \nu(\mathbb{S}^{d-1}) = \mathcal{H}^{d-1}(\mathbb{S}^{d-1}); \\ (b) \ \nu(\mathbb{S}^{d-1} \setminus \omega) > \mathcal{H}^{d-1}(\omega^*), \forall \omega \subsetneq \mathbb{S}^{d-1} \ \text{是紧且凸的}. \end{cases}$$

此外, 若 K 存在, 则不同的解之间相差一个扩张 (dilation).  $\square$ 

定理 (Minkowski 解的正则性)

设  $K \subset \mathbb{R}^3$  是一个含有原点的有界开凸域, 假设  $\mu_K = fd\mathcal{H}^2$ , 密 度函数  $f: \mathbb{S}^2 \to \mathbb{R}^+$  有界, 则  $\partial K$  是  $C^1$  的.

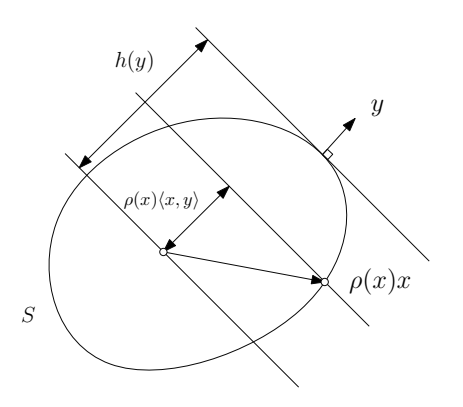


图: 广义 Legendre 变换,  $h(y) = \max\{\rho(x)\langle x,y\rangle, x\in\mathbb{S}^{d-1}\}.$ 

定义 (球面 Legendre 对偶)

给定  $\mathbb{R}^d$  中的一张凸超曲面,其极坐标表示为

$$S:=\{\rho(x)x:x\in\mathbb{S}^{d-1},\rho:\mathbb{S}^{d-1}\to\mathbb{R}^+\}$$
, 其球面 Legendre 对偶为  $S^*:=\{h(y)y:y\in\mathbb{S}^{d-1},h:\mathbb{S}^{d-1}\to\mathbb{R}^+\}$ , 其中

$$h(y) := \sup_{x \in \mathbb{S}^{d-1}} \rho(x) \langle x, y \rangle. \tag{2}$$

对称地,  $S = (S^*)^*$ , 并且

$$\rho(x) = \inf_{y \in \mathbb{S}^{d-1}} \frac{h(y)}{\langle x, y \rangle},\tag{3}$$

或者等价地,

$$\rho^{-1}(x) = \sup_{y \in \mathbb{S}^{d-1}} h^{-1}(y) \langle x, y \rangle. \quad \Box$$

口诀 代价变换支撑,支撑包络势能;

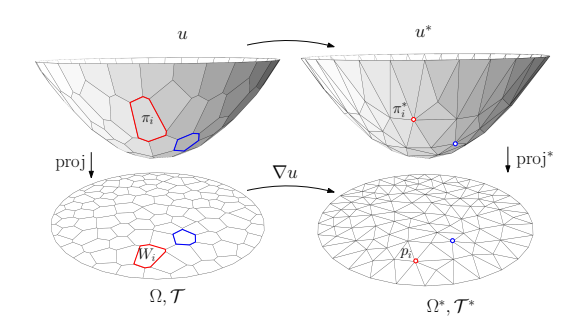


图: 欧氏空间的 Legendre 对偶.

## 口诀

势能微分映射;映射对偶凸形。

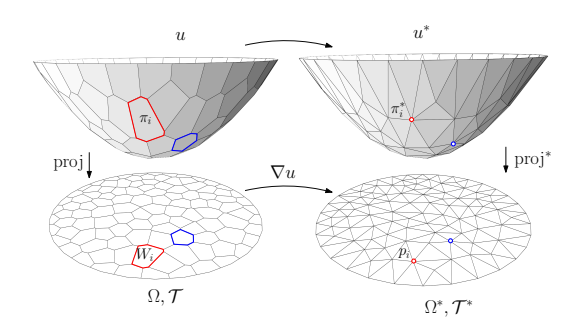


图: 欧氏空间的 Legendre 对偶. 支撑面  $\langle \mathbf{p}, x \rangle - h = 0$  , 对偶点  $(\mathbf{p}, h)$ .

口误

支撑包络势能; 势能微分映射, 映射对偶凸形。

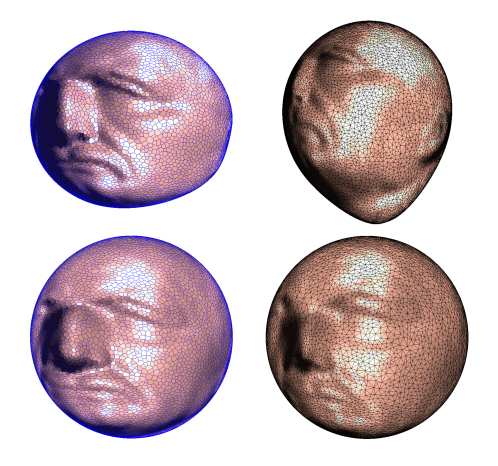


图: 球面的 Legendre 对偶. 支撑面  $\langle \rho(x), \mathbf{y} \rangle = h$ , 对偶点  $h^{-1}\mathbf{y}$ 

球面 Legendre 对偶公式两边同取对数,得到

$$\log \rho(x) = \inf_{y} \left\{ -\log\langle x, y \rangle - \log \frac{1}{h(y)} \right\}, \tag{4}$$

且

$$\log \frac{1}{h(y)} = \inf_{x} \left\{ -\log\langle x, y \rangle - \log \rho(x) \right\}. \tag{5}$$

我们可以定义损失函数  $c: \mathbb{S}^{d-1} \times \mathbb{S}^{d-1} \to \mathbb{R}^+ \cup \{0\},$ 

$$c(x,y) := -\log\langle x, y \rangle, \tag{6}$$

则上式表示  $\log \rho(x)$  与  $-\log h(y)$  互为对方的 c-变换:

$$(\log \rho(x))^c = \log \frac{1}{h(y)}$$
  $\pi$   $\left(\log \frac{1}{h(y)}\right)^{\overline{c}} = \log \rho(x).$ 

证明.

Minkowski 问题 I 可以重新表述为最优传输问题: 在  $\mathbb{S}^{d-1}$  上给 定 Borel 测度  $\nu$ , 找到一个最优传输映射  $T: (\mathbb{S}^{d-1}, \mathcal{H}^{d-1}) \to (\mathbb{S}^{d-1}, \nu)$ .

$$\min_{T_{\#}\mathcal{H}^{d-1}=\nu}\int_{\mathbb{S}^{d-1}}-\log\langle x,\,T(x)\rangle\,d\mathcal{H}^{d-1}.$$

这等价于对偶问题:

$$\max\left\{\int_{\mathbb{S}^{d-1}}\varphi(x)d\mathcal{H}^{d-1}(x)+\int_{\mathbb{S}^{d-1}}\varphi^c(y)d\nu(y),\quad \varphi\in c\text{-conv}\left(\mathbb{S}^{d-1}\right)\right\}.$$

代价函数  $-\log\langle x,y\rangle$  是连续的, 球面  $\mathbb{S}^{d-1}$  是一个紧度量空间, 所以根据 (DP) 定理, 存在一个解  $(\varphi,\varphi^c)=(\rho(x),1/h(y))$ .

假设 S 是一个光滑的严格凸曲面,它的 Gauss 映射  $N_k: S \to \mathbb{S}^2$  是可逆的,我们可以用 Gauss 球面来参数化曲面,记为 S(y),  $y \in \mathbb{S}^2$ . 曲面在 S(y) 处的法向量为 y, Gauss 曲率为  $\mathcal{K}(y)$ . Gauss 曲率满足条件:

$$\int_{\mathbb{S}^2} \frac{y}{\mathcal{K}(y)} dA_{\mathbb{S}^2}(y) = 0.$$

曲面的面元为:

$$d\nu = dA_S(y) = \frac{1}{\mathcal{K}(y)} dA_{\mathbb{S}^2}(y).$$

即 Gauss 映射将曲面面元  $dA_S$  推前到 Gauss 球面上的测度  $\nu$ , 密度为  $\mathcal{K}(y)^{-1}$ .

问题 (Minkowski I)

给定球面上的测度 ν,满足

$$\int_{\mathbb{S}^2} y d\nu(y) = \mathbf{0},$$

寻找凸曲面 S(y),使得  $d\nu$  为曲面 S 的面元。设  $\nu$  的密度函数 为  $d\nu=\frac{1}{\mathcal{K}(y)}dA_{\mathbb{S}^2}$ ,曲面在 S(y) 点的法向量等于 y, Gauss 曲率 等于  $\mathcal{K}(y)$ 。

在 Minkowski 问题 I 中,曲面具有极坐标表示  $\rho(x)x$ ,  $x \in \mathbb{S}^2$ ; 在 Minkowski 问题 I 中,曲面被 Gauss 球面参数化,即被法向量参数化。

我们可以通过 Dirac 分布和来近似测度  $\nu$ . 构造球面的一个胞腔 分解 T,

$$\mathbb{S}^2 = \bigcup_{i=1}^n W_i,$$

对每个  $W_i$ , 计算向量

$$v_i = \int_{W_i} \frac{y}{\mathcal{K}(y)} dA_{\mathbb{S}^2},$$

令  $A_i = |v_i|$  并且  $y_i = v_i/A_i$ ,则基于  $\{(A_i, y_i)\}_{i=1}^n$ ,求解离散 Minkowski 问题,得到凸多面体 P,其第 i 个面的法向量等于  $y_i$ ,面积等于  $A_i$ .

若构造胞腔分解序列  $T_1, T_2, \ldots, T_n, \ldots$ , 胞腔的直径均匀单调地 趋于 0, 则存在相应的凸多面体序列  $P_1, P_2, \ldots, P_n, \ldots$  收敛于光 滑凸曲面 S.

一个光照系统由位于 O 处的点光源和一个反射曲面  $\Gamma$  组成,

$$\Gamma_{\rho} = \{ x \rho(x); x \in \Omega \}, \quad \rho > 0, \tag{7}$$

入射光线都落在输入域  $\Omega$  中. 反射镜面将入射光线进行反射, 如果只考虑远场 (far field) 问题, 则可只关注反射光线的方向. 所有反射射线的方向都落在输出域  $\Omega^*$  之中.

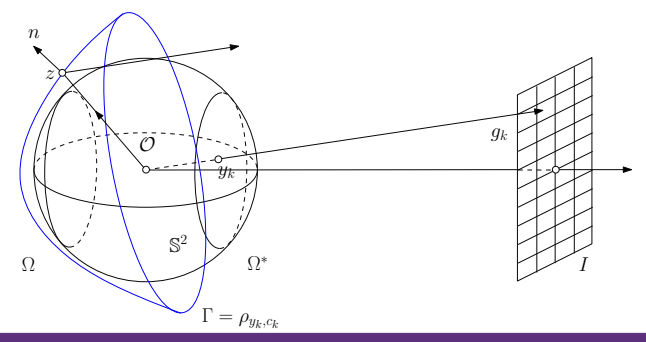






图: 左帧是初始的远场图像, Lena 相片; 右帧是计算模拟的反射图像.

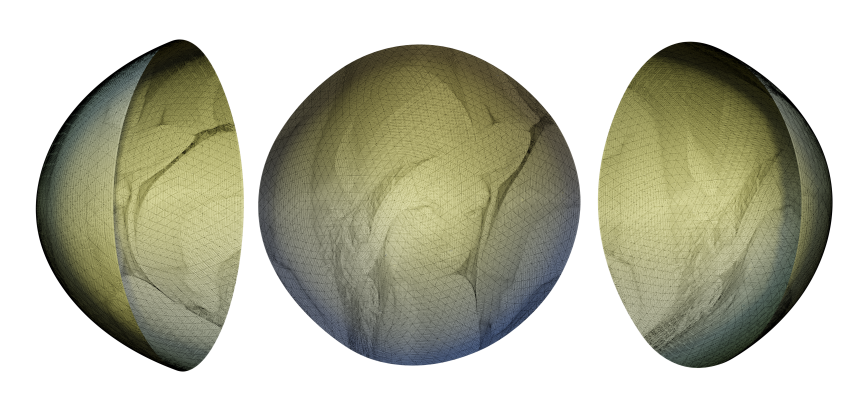


图: Lena 相片的反射曲面.





图: 左帧是初始的远场图像, Monge 相片; 右帧是计算模拟的反射图像.

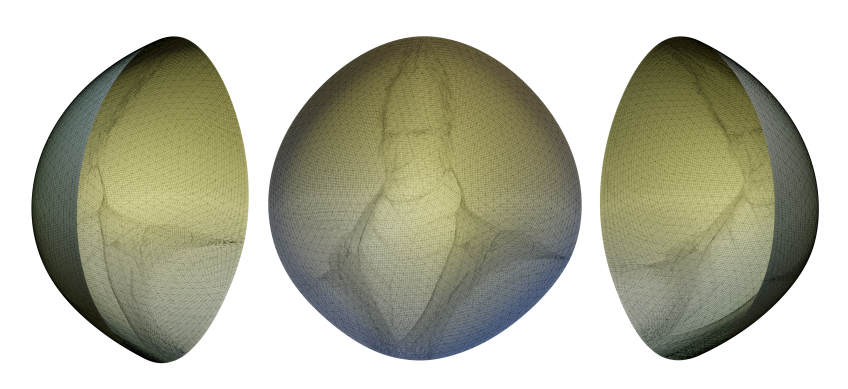


图: Monge 相片的反射曲面.

设 f 为输入域  $\Omega$  的照明强度 (illumination), 即  $\mathcal{O}$  中的射线分布, 设 g 是输出域  $\Omega^*$  的照明强度. 假设反射过程中没有能量损失, 根据能量守恒定律, 我们有

$$\int_{\Omega} f = \int_{\Omega^*} g. \tag{8}$$

令一条光线从光源出发, 沿着方向  $x \in \Omega$  传播, 与镜面相交于点  $z = x\rho(x) \in \Gamma_{\rho}$ , 则反射光线的方向由反射定律所决定,

$$T(x) = T_{\rho}(x) = \partial \rho(x) = x - 2\langle x, n \rangle n, \tag{9}$$

其中 n 是反射曲面  $\Gamma_{\rho}$  在点 z 处的外法向量,  $\langle x, n \rangle$  表示欧氏内积. 根据能量守恒定律, T 是保测度的映射, 即

$$\int_{T^{-1}(E)} f = \int_{E} g, \quad \forall \text{ Borel } \text{ $\mathfrak{L} \subset \Omega^{*}$.}$$
 (10)

满足自然的边界条件是

$$T_{\rho}(\Omega) = \partial \rho(\Omega) = \Omega^*. \tag{11}$$

由保测度条件, 我们可以获得反射系统的偏微分方程. 实际上, 在  $x \in \Omega$  处, 映射 T 的 Jacobi 行列式等于 f(x)/g(T(x)), 在  $\mathbb{S}^2$  上的一个局部正交坐标系中, 得出方程的局部表示

$$\mathcal{L}\rho = \eta^{-2} \det(-\nabla_i \nabla_j \rho + 2\rho^{-1} \nabla_i \rho \nabla_j \rho + (\rho - \eta) \delta_{ij}) = f(x)/g(T(x)),$$
(12)

这里  $\nabla$  是协变量导数,  $\eta=(|\nabla\rho|^2+\rho^2)/2\rho$ , 且  $\delta_{ij}$  是 Kronecker 函数. 这是一个极度复杂、完全非线性的 Monge-Ampère 型偏微分方程, 一个自然的边界条件是

$$T_{\rho}(\Omega) = \partial \rho(\Omega) = \Omega^*. \tag{13}$$

问题 (反射曲面设计)

给定球面区域  $\Omega$ ,  $\Omega^* \subset \mathbb{S}^2$ , 以及密度函数  $f:\Omega \to \mathbb{R}_+$  和  $g:\Omega^* \to \mathbb{R}_+$ , 找到反射曲面  $\Gamma_\rho$ , 以使反射映射  $T_\rho$  满足保测度条件和自然边界条件.

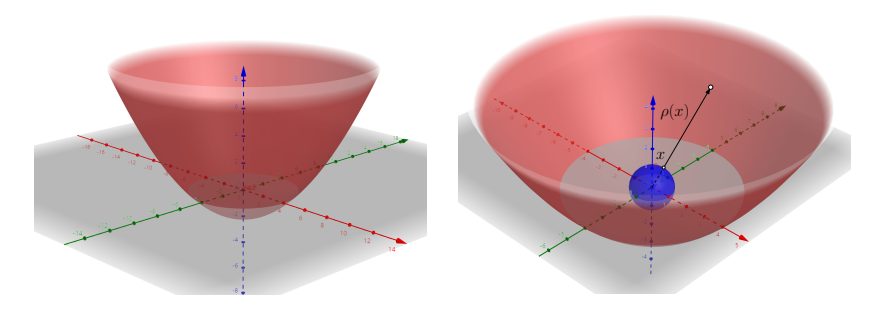


图: 抛物面的径向表示为  $\rho(x) = C/(1 - \langle x, y \rangle)$ , 其中 y 为轴方向.

旋转抛物面的反射特性:进入旋转抛物面的光线,如果平行于旋转轴,则都被反射到焦点,反之亦然.

## 定义(支撑抛物面)

令  $\rho \in C(\Omega)$  是正函数,  $\Gamma_{\rho} = \{x\rho(x) : x \in \Omega\}$  表示  $\rho$  的径向图. 我们称  $\Gamma_{\rho}$  是  $\rho$  在  $x_0\rho(x_0) \in \Gamma_{\rho}$  点的一个支撑抛物面, 其中  $\rho = p_{u,C}$ , 如果有

$$\begin{cases}
\rho(x_0) = p_{y,C}(x_0), \\
\rho(x) \le p_{y,C}(x), \quad \forall x \in \Omega.
\end{cases}$$
(14)

## 定义 (可容许函数)

称  $\rho$  是可容许函数 (admissible function), 如果在其径向图  $\Gamma_{\rho}$  的 任意点处都有支撑抛物面.

## 定义(次微分)

令  $\rho$  为可容许函数, 次微分 (subdifferential) 是一个集值映射  $\partial \rho: \Omega \to \mathbb{S}^2$ : 对于任意  $x_0 \in \Omega$ ,  $\partial \rho(x_0)$  是这样的点  $y_0$  的集合, 使得存在某个正数 C>0,  $p_{y_0,C}$  是  $\rho$  在点  $x_0$  的支撑抛物面,

$$\partial \rho(x) = \{ y \in \Omega^* : \exists C > 0$$
 使得抛物面  $p_{y,C}$  在点  $x$  处支撑  $\rho \}$ .

定义(广义 Alexandrov 测度)

通过次微分映射  $\partial \rho$  , 我们引入  $\Omega$  中的测度  $\mu = \mu_{\rho,g}$  , 其中  $g \in L^1(\mathbb{S}^2)$  是球面上的非负可测函数, 使得对于任何 Borel 集  $E \subset \Omega$ ,

$$\mu_{\rho,g}(E) = \int_{\partial \rho(E)} g(x) dx. \tag{15}$$

#### 定义(广义解)

可容许的函数  $\rho$  称为反射系统球面 Monge-Ampère 方程的广义解, 如果作为测度

$$\mu_{\rho,g} = fdx$$
.

等价地, 对于任意的 Borel 集  $E \subset \Omega$ , 都有

$$\int_{E} f = \int_{\partial \rho(E)} g. \tag{16}$$

进一步, 若  $\rho$  满足

$$\Omega^* \subset \partial \rho(\Omega), \quad |\{x \in \Omega : f(x) > 0 \text{ } \exists. \ \partial \rho(x) - \overline{\Omega^*} \neq \emptyset\}| = 0, \ (17)$$

则  $\rho$  是具自然边界条件  $T_{\rho}(\Omega) = \Omega^*$  的球面 Monge-Ampère 方程  $\mathcal{L}\rho = f/g \circ T$  的广义解.

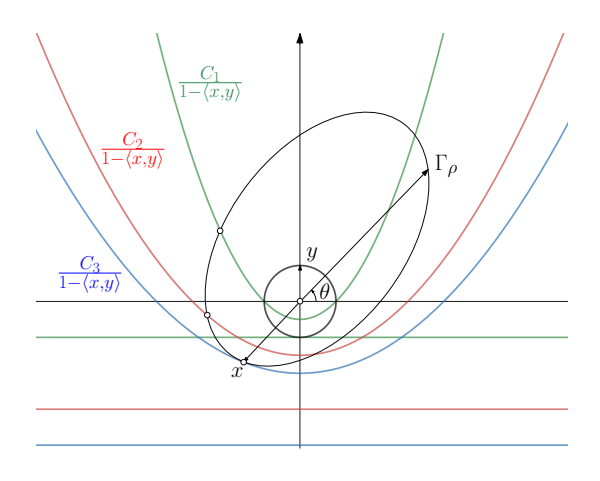


图: 广义 Legendre 变换.

设  $\rho$  是可容许的,固定一个方向  $y \in \mathbb{S}^2$ ,存在一个支撑抛物面以 y 为轴方向,表示为  $p_{y,c}$ . 也就是说,抛物面的径向表示为  $\frac{c}{1-\langle x,y\rangle}$ ,且在  $\rho(x)x$  处支撑  $\Gamma_{\rho}$ . 那么如图所示,对于任意轴向为 y、与  $\Gamma_{\rho}$  相交的抛物线  $p_{y,\tilde{c}}$ ,我们都有  $\tilde{c} \leq c$ . 设  $\Gamma_{\rho}$  与抛物面  $p_{y,\tilde{c}}$  在  $\rho(x)x$  处相交,则我们有  $\rho(x) = \frac{\tilde{c}}{1-\langle x,y\rangle}$ , $\tilde{c} = \rho(x)(1-\langle x,y\rangle)$ . 因此我们得到

$$c(y) = \sup_{x \in \Omega} \rho(x)(1 - \langle x, y \rangle) \iff \frac{1}{c(y)} = \inf_{x \in \Omega} \frac{1}{\rho(x)(1 - \langle x, y \rangle)},$$

我们将其表示为  $\eta: \Omega^* \to \mathbb{R}_+$ ,  $\eta(y) = 1/c(y)$ .

定义(广义 Legendre 变换)

假设  $\rho$  是  $\Omega$  的可容许函数,  $\rho$  关于函数  $\frac{1}{1-\langle x,y\rangle}$  的广义 Legendre 变换 (generalized Legendre transform) 是定义在  $\mathbb{S}^2$  上的函数  $\eta$ ,

$$\eta(y) = \inf_{x \in \Omega} \frac{1}{\rho(x)(1 - \langle x, y \rangle)}. \quad \blacklozenge$$
 (18)

对于任意固定的  $y_0 \in \Omega^*$ , 令其下确界在点  $x_0 \in \Omega$  处取得, 由此 有

$$\eta(y_0)\rho(x_0) = \frac{1}{1 - \langle x_0, y_0 \rangle},$$
(19)

对于一般的  $x \in \Omega$  和  $y \in \Omega^*$ ,

$$\rho(x)\eta(y) \le \frac{1}{1 - \langle x, y \rangle},\tag{20}$$

并且我们知道  $p_{y_0,C}(x) = \frac{C}{1-\langle x,y_0\rangle}$  是  $\rho$  位于  $x_0$  处的支撑抛物面,  $p_{x_0,C}(y) = \frac{C}{1-\langle x_0,y\rangle}$  是  $\eta$  在点  $y_0$  处的支撑抛物面.

进一步得到:

$$y_0 \in \partial \rho(x_0) \iff x_0 \in \partial \eta(y_0).$$

特别地, 当  $\eta$  的广义 Legendre 变换限制在  $\Omega$  上时, 就是  $\rho$  自身,

$$\rho^{**} = \rho.$$

更进一步, 如果  $\rho$  光滑且满足 Monge-Ampère 方程 (12), 则次微分映射  $\partial \eta$  是  $\partial \rho$  的逆映射. 因此,  $\eta$  满足方程

$$\mathcal{L}\rho = \frac{f(x)}{g(\partial\rho(x))}, \quad \mathcal{L}\eta = \frac{g(y)}{f(\partial\eta(x))},$$
 (21)

定理(反射曲面设计问题解的存在唯一性)

假设  $\Omega$  和  $\Omega^*$  分别是包含在北半球和南半球中的连通域, f 和 g 是有界正函数,  $\int_{\Omega} f(x) = \int_{\Omega^*}$ , 那么存在一对函数  $(\varphi_1, \psi_1)$  极大化下述能量,

$$\sup \left\{ \int_{\Omega} \varphi(x) f(x) dx + \int_{\Omega^*} \psi(y) g(y) dy, \varphi(x) + \psi(y) \le c(x, y) \right\},$$
(22)

其中

$$c(x,y) = -\log(1 - \langle x, y \rangle), \tag{23}$$

 $\langle x,y\rangle$  是  $\mathbb{R}^3$  中的内积,使得  $\rho_1=e^{\varphi_1}$  是满足自然边界条件  $\partial \rho_1(\Omega)=\Omega^*$  的球面  $Monge\text{-}Amp\`ere$  方程  $\mathcal{L}\rho_1=f/g\circ\partial \rho_1$  的解,并且所有这样的解  $\phi_1$  彼此相差一个常数.

证明.

反射曲面设计问题是一个最优传输问题,根据对偶问题 (DP) 解的存在唯一性定理,我们得到存在 Kantorovich 势能函数对  $(\varphi,\psi),\ \psi=\varphi^c,\ \varphi=\psi^{\bar{c}},\$ 并且  $\varphi$  在相差一个常数的意义下唯一。 令  $x_0\in\Omega$  是  $\varphi$  的可微点,令  $y_0\in\overline{\Omega_*}$ ,使得

$$\begin{cases} \varphi(x_0) = c(x_0, y_0) - \psi(y_0) \\ \varphi(x) \le c(x, y_0) - \psi(y_0), \quad \forall x \in \Omega. \end{cases}$$

这时,  $\rho = e^{\varphi}$ , 抛物面

$$p(x) = \exp(c(x, y_0) - \psi(y_0)) = \frac{C}{1 - \langle x, y_0 \rangle}, C = \exp(-\psi(y_0)).$$

那么 p(x) 在  $x_0$  点处支撑  $\Gamma_{\rho}$ 。

证明.

 $\Gamma_{\rho}$  是支撑抛物面的内包络, $\rho$  几乎处处可微。<mark>注意</mark>,在  $\rho$  的可微点上,支撑抛物面是唯一的,因此  $y_0$  是唯一的. 因此,最优传输方案这时成为最优传输映射  $T_{\rho}:\Omega \to \Omega^*$ 。

抛物面 p(x) 和  $\Gamma_{\rho}$  在切点处法向量相同,由抛物面的反射特性,我们有

$$y_0 = T_\rho(x_0) = T_p(x_0) = x_0 - 2\langle x_0, n \rangle n.$$

因为  $T_{\rho}$  保测度,满足球面 Monge-Ampère 方程, $\mathcal{L}\rho = f/g \circ \partial \rho$ ,并且满足边界条件  $T_{\rho}(\Omega) = \Omega^*$ .

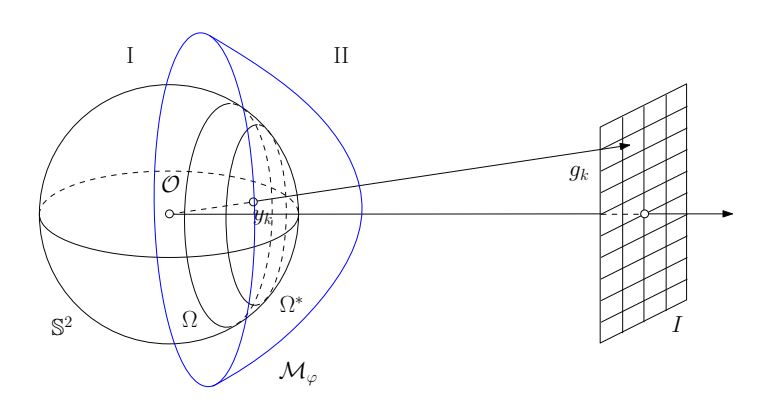


图: 折射系统的设置.

设  $n_1$  和  $n_2$  分别为两种均匀、各向同性介质 I 和 II 的折射率. 假设从介质 I 中的点  $\mathcal{O}$  发出强度为 f(x) 的光,沿着方向  $x \in \Omega \subset \mathbb{S}^2$ . 如图所示,我们希望构造一个具有径向表示的折射曲面  $\Gamma_a$ ,

$$\Gamma_{\rho} = \{x\rho(x); x \in \Omega\}, \quad \rho > 0, \tag{24}$$

 $\Gamma_{\rho}$  分离介质 I 和 II, 使得所有被  $\Gamma_{\rho}$  折射到介质 II 中的光线方向都落在  $\Omega^* \subset \mathbb{R}^2$  中, 并且沿着方向  $y \in \Omega^*$  的光线照明强度等于 g(y), 这里球面函数  $g: \Omega^* \to \mathbb{R}$  被事先规定.

假设折射中没有能量损失,则根据能量守恒定律,

$$\int_{\Omega} f(x) dx = \int_{\Omega^*} g(y) dy.$$
 (25)

从  $\mathcal{O}$  出发到达点  $x\rho(x) \in \Gamma_{\rho}$  的射线, 这里  $x \in \Omega$ , 其折射射线的方向为

$$T(x) = T_{\rho}(x) = \partial \rho(x).$$
 (26)

根据能量守恒, T 是保测度映射, 即

$$\int_{T^{-1}(E)} f(x) dx = \int_{E} g(y) dy, \quad \forall \text{ Borel } \not \in E \subset \Omega^*, \tag{27}$$

具有自然边界条件

$$T_{\rho}(\Omega) = \partial \rho(\Omega) = \Omega^*. \tag{28}$$

问题(设计折射镜面)

令  $n_1$  和  $n_2$  分别为两种均质和各向同性介质 I 和 II 的折射率. 给定球面区域  $\Omega,\Omega^*\subset\mathbb{S}^2$ , 密度函数  $f\colon\Omega\to\mathbb{R}_+$  和  $g\colon\Omega^*\to\mathbb{R}_+$ , 找到折射镜表面  $\Gamma_\rho$ , 将两种介质分开, 这样折射映射  $T_\rho$  (26) 满足保测度条件 (27) 和边界条件 (28).

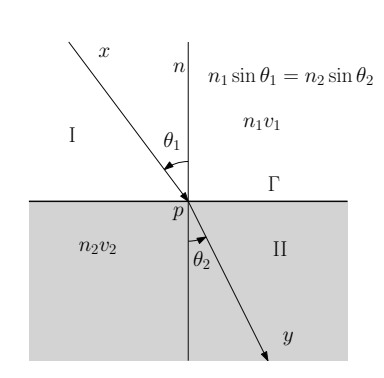


图: Snell 折射定律.

 $v_1$  和  $v_2$  是介质 I 和 II 中的光度, $n_1 = c/v_1$ , $n_2 = c/v_2$  为折射指数. 如果一束方向为 $x \in \mathbb{S}^{n-1}$  的光线穿过介质 I 在点p 处命中  $\Gamma$ ,折射进入介质 II,折射射线的方向为  $y \in \mathbb{S}^{n-1}$ ,则 Snell 定律断言

 $n_1\sin\theta_1=n_2\sin\theta_2,$ 

这里  $\theta_1$  是入射角,  $\theta_2$  是 折射角, n 是  $\Gamma$  在 p 处的法向单位, 指向介质 II. 向量 x, n 和 y 是 共面的.

定义(具有均匀折射特性的曲面)

曲面使从点 0 发出的所有光线都折射到某个固定方向。

 $\kappa = n_2/n_1,$  当  $\kappa < 1,$  由于折射的物理约束,半椭球面  $e_{y,b}$  由下式给出

$$e_{y,b} = \left\{ \rho(x)x : \rho(x) = \frac{b}{1 - \kappa \langle y, x \rangle}, x \in \mathbb{S}^{n-1}, \langle x, y \rangle \ge \kappa \right\}.$$
 (29)

当  $\kappa > 1$ . 由于折射的物理约束, 双叶旋转双曲面的一叶,

$$h_{y,b} = \left\{ \rho(x)x : \rho(x) = \frac{b}{\kappa \langle y, x \rangle - 1}, x \in \mathbb{S}^{n-1}, \langle x, y \rangle \ge 1/\kappa \right\}.$$
(30)

## 引理

设  $n_1$  和  $n_2$  分别是两种介质 I 和 II 的折射率, 并且  $\kappa = n_2/n_1$ . 假设原点  $\mathcal{O}$  在介质 I 内, 而  $e_{y,b}$ ,  $h_{y,b}$  分别由 (29) 和 (30) 所定 义, 我们有:

如果  $\kappa < 1$  并且  $e_{y,b}$  是两种介质 I 和 II 的界面,  $e_{y,b}$  将所有从 O 发出的光线折射进入介质 II, 折射为方向 y.

如果  $\kappa > 1$  并且  $h_{y,b}$  是两种介质 I 和 II 的界面,  $h_{y,b}$  将所有从 O 发出的光线折射进入介质 II, 折射为方向 y.

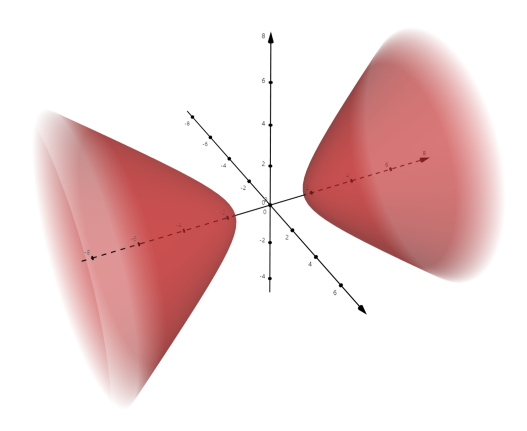


图: 双叶双曲面。

定义(支撑椭球面)

令  $\rho \in C(\Omega)$  为正函数, 并令  $\Gamma_{\rho} = \{x\rho(x) : x \in \Omega\}$  表示  $\rho$  的径向图. 令  $e = e_{y,c}$  是一个旋转椭球面, 其径向图为  $\Gamma_{e}$ . 如果我们有

$$\begin{cases}
\rho(x_0) = e_{y,c}(x_0), \\
\rho(x) \le e_{y,c}(x), \quad \forall x \in \Omega,
\end{cases}$$
(31)

则称  $\Gamma_e$  是  $\rho$  在点  $x_0\rho(x_0) \in \Gamma_\rho$  处的支撑椭球面. 如果径向图  $\Gamma_\rho$  在任意点处都有支撑椭球面, 则称  $\rho$  是可容许的.

## 定义(次微分)

令  $\rho$  为可容许函数. 我们定义一个集值映射  $\partial \rho: \Omega \to \mathbb{S}^2$ , 即所谓的次微分. 对于任意  $x_0 \in \Omega$ ,  $\partial \rho(x_0)$  是这样的点  $y_0$  的集合, 使得存在 c>0,  $e_{y_0,c}$  是  $\rho$  在点  $x_0$  处的支撑椭球面.

对任意子集  $E \subset \Omega$ , 我们定义  $\partial \rho(E) = \bigcup_{x \in E} \partial \rho(x)$ .

设  $g \in L^1(\mathbb{S}^2)$  是非负的可测函数, 定义测度  $\mu = \mu_{\rho,g}$ , 使得

$$\mu_{\rho,g}(E) = \int_{\partial \rho(E)} g(x) dx, \quad \forall \text{ Borel } E \subset \Omega$$
 (32)

定义(广义解)

可容许函数  $\rho$ , 如果作为测度  $\mu_{\rho,g} = fdx$ , 则

$$\int_{E} f = \int_{\partial \rho(E)} g, \quad \forall \text{ Borel } E \subset \Omega$$
 (33)

更进一步, 如果  $\rho$  还满足

$$\Omega^* \subset \partial \rho(\Omega), \quad |\{x \in \Omega : f(x) > 0 \ \underline{\exists} \ \partial \rho(x) - \overline{\Omega^*} \neq \emptyset\}| = 0, \quad (34)$$

则称  $\rho$  是具有自然边界条件的球面蒙日-安培方程的广义解.

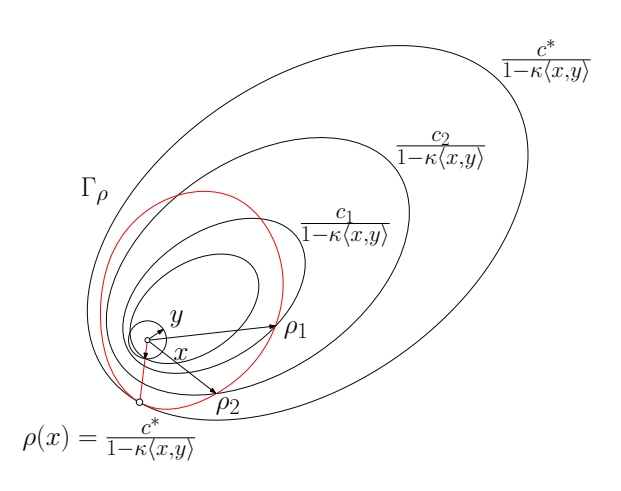


图: 广义 Legendre 变换.

在所有以 y 为轴向, 且与  $\Gamma_{\rho}$  相交的椭球面  $e_{y,c}$  中,  $c \leq c^*$ . 假设  $\Gamma_{\rho}$  与椭球面  $e_{y,c}$  相交, 则在交点处我们有  $\rho(x) = \frac{c}{1-\kappa\langle x,y\rangle}$ ,  $c = \rho(x)(1-\kappa\langle x,y\rangle)$ , 因此我们得到

$$c^*(y) = \sup_{x \in \Omega} \rho(x) (1 - \kappa \langle x, y \rangle) \iff \frac{1}{c^*(y)} = \inf_{x \in \Omega} \frac{1}{\rho(x) (1 - \kappa \langle x, y \rangle)}.$$

 $1/c^*(y)$  是 y 的函数, 我们将其记作  $\eta: \Omega^* \to \mathbb{R}_+$ .

定义(广义 Legendre 变换)

设  $\rho$  是定义在  $\Omega$  上的可容许函数.  $\rho$  关于函数  $\frac{1}{1-\kappa\langle x,y\rangle}$  的广义 Legendre 变换是定义在  $\mathbb{S}^2$  上的函数  $\eta$ , 由下式给出

$$\eta(y) = \inf_{x \in \Omega} \frac{1}{\rho(x)(1 - \kappa \langle x, y \rangle)}. \quad \blacklozenge$$
 (35)

记  $\Omega^* = \partial \rho(\Omega)$ . 对于任何固定的  $y_0 \in \Omega^*$ , 令 (35) 在  $x_0 \in \Omega$  达 到最小值, 则

$$\eta(y_0)\rho(x_0) = \frac{1}{1 - \kappa \langle x_0, y_0 \rangle},\tag{36}$$

对一般条件下的  $x \in \Omega$  和  $y \in \Omega^*$ ,

$$\rho(x)\eta(y) \le \frac{1}{1 - \kappa\langle x, y \rangle}. (37)$$

我们有

$$y_0 \in \partial \rho(x_0) \iff x_0 \in \partial \eta(y_0).$$

特别地,  $\eta$  的广义 Legendre 变换, 限制在  $\Omega$  之上时, 又是  $\rho$  自身,

$$\eta^{**} = \eta, \quad \rho^{**} = \rho.$$

$$\partial \eta^{-1} = \partial \rho, \quad \partial \rho^{-1} = \partial \eta$$

定理

设  $\Omega$  和  $\Omega^*$  是  $\mathbb{S}^{n-1}$  中的两个区域,则发射光束的照明强度由在  $\Omega$  上的正有界函数 f(x) 给出,折射光束的规定照明强度由  $\Omega^*$  上的正有界函数 g(y) 给出.假设  $|\partial\Omega|=0$  并且满足物理约束

$$\inf_{x \in \Omega, y \in \Omega^*} \langle x, y \rangle \ge \kappa. \tag{38}$$

进一步, 假设总能量守恒

$$\int_{\Omega} f(x) dx = \int_{\Omega^*} g(y) dy > 0, \tag{39}$$

其中 dx, dy 表示  $\mathbb{S}^{n-1}$  上的曲面测度. 那么, 存在一个弱解  $\Gamma_{\rho}$ , 对  $\kappa < 1$  具有发射照明强度 f(x) 和规定的折射照明强度 g(y). 这样的解  $\Gamma_{\rho}$  彼此相差一个相似变换.

证明.

由最优传输理论的对偶问题, 可以证明存在一对函数  $(\phi_1, \psi_1)$ , 在相差一个常数的意义下唯一, 最大化如下问题

$$\sup\{I(u,v):(u,v)\in K\},$$

其中

$$I(u,v) = \int_{\Omega} f(x)u(x) dx + \int_{\Omega^*} v(y)g(y) dy,$$

$$K = \left\{ (u, v) \in (C(\overline{\Omega}), C(\overline{\Omega^*})) : u(x) + v(y) \le c(c, y), \forall x \in \Omega, y \in \Omega^* \right\},$$
$$c(x, y) = -\log(1 - \kappa \langle x, y \rangle),$$

这里  $\langle x, y \rangle$  是  $\mathbb{R}^n$  上的内积, 使得  $\rho_1 = e^{\phi_1}$  是具有自然边界条件的蒙日-安培方程的解.

定理

设  $\Omega$  和  $\Omega^*$  是  $\mathbb{S}^{n-1}$  上的两个区域,则发射光束的照明强度由在  $\Omega$  上的正有界函数 f(x) 给出. 折射光束的规定照明强度由在  $\Omega^*$  上的正有界函数 g(y) 给出. 假设  $|\partial\Omega|=0$  并且满足物理约束

$$\inf_{x \in \Omega, y \in \Omega^*} \langle x, y \rangle \ge \frac{1}{\kappa}.$$
 (40)

进一步, 假设总能量守恒

$$\int_{\Omega} f(x) dx = \int_{\Omega^*} g(y) dy > 0, \tag{41}$$

其中 dx, dy 表示  $\mathbb{S}^{n-1}$  上的曲面测度. 那么存在一个弱解  $\Gamma_{\rho}$  , 对于  $\kappa > 1$  具有发射照明强度 f(x) 和规定的折射照明强度 g(y). 这样的解  $\Gamma_{\rho}$  彼此相差一个相似变换.

该证明类似于  $\kappa < 1$  的情况, 但是代价函数被修改为

$$c(x,y) = -\log(\kappa \langle x, y \rangle - 1). \tag{42}$$

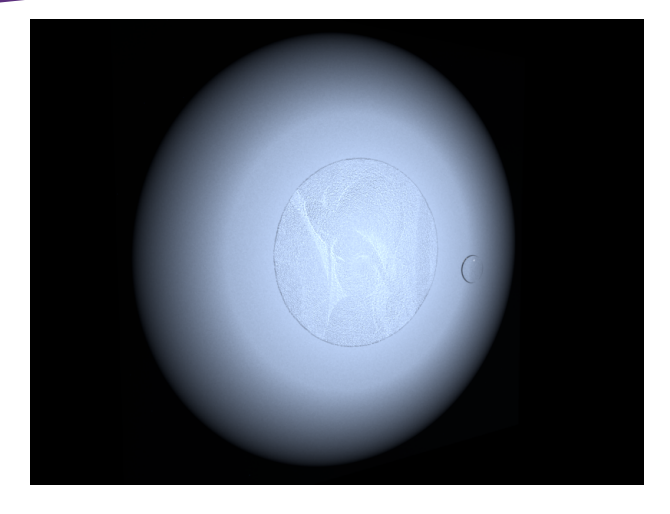


图: 基于最优传输的折射透镜设计。

- 1. 保面积参数化;
- 2. Minkowski 问题 I;
- 3. 折射透镜设计  $\kappa < 1$ ;
- 4. 折射透镜设计  $\kappa > 1$ ;

源测度  $(\Omega, \mu)$ ,目标测度  $(\Omega^*, \nu)$ ,代价函数 c(x, y),Kantorovich 势能函数  $(\varphi, \psi)$ ,密度函数  $d\mu(x) = f(x)dx$ ,  $d\nu(y) = g(y)dy$ ,

$$\sup \left\{ \int_{\Omega} \varphi f + \int_{\Omega^*} \psi g : \varphi \oplus \psi \le c \right\}$$
$$\psi(y) = \varphi^c, \quad \varphi(x) = \psi^{\bar{c}}$$

	代价 c(x, y)	支撑 $c(x,y) - \psi(y)$	势能 $\varphi = \inf_{y} c(x, y) - \psi(y)$
1	$\langle x, y \rangle$	$\langle x, y \rangle - \psi(y)$	$\varphi(x) = \sup_{y} \langle x, y \rangle - \psi(y)$
2	$-\log\langle x,y\rangle$	$\frac{e^{-\psi(y)}}{\langle x,y\rangle}$	$\rho(x) = e^{\varphi(x)} = \inf_{y} \frac{e^{-\psi(y)}}{\langle x, y \rangle}$
3	$-\log(1-\kappa\langle x,y\rangle)$	$\frac{e^{-\psi(y)}}{1-\kappa\langle x,y\rangle}$	$\rho(x) = e^{\varphi(x)} = \inf_{y = \frac{e^{-\psi(y)}}{1 - \kappa \langle x, y \rangle}}$
4	$-\log(\kappa\langle x,y\rangle-1)$	$\frac{e^{-\psi(y)}}{\kappa\langle x,y\rangle - 1}$	$\rho(x) = e^{\varphi(x)} = \inf_{y \in \frac{e^{-\psi(y)}}{\kappa \langle x, y \rangle - 1}}$

	映射	支撑 $c(x,y) - \psi(y)$	Legendre 对偶
	$\nabla_x c(x, T(x)) = \nabla \varphi(x)$		$\psi(y) = \inf_{x} c(x, y) - \varphi(x)$
1	$T(x) = \nabla \varphi(x)$	平面	$\psi(y) = \sup_{x} \langle x, y \rangle - \varphi(x)$
2	T(x) = n(x)	平面	$\eta(y) = e^{\psi(y)} = \inf_{x} \frac{e^{-\varphi(x)}}{\langle x, y \rangle}$
3	$n(x) = \frac{x - \kappa T(x)}{ x - \kappa T(x) }$	旋转椭球面	$\eta(y) = e^{\psi(y)} = \inf_{x = \frac{e^{-\varphi(x)}}{1 - \kappa \langle x, y \rangle}}$
4	$n(x) = \frac{x - \kappa T(x)}{ x - \kappa T(x) }$	旋转双叶双曲面	$\eta(y) = e^{\psi(y)} = \inf_{x \in (x,y)-1} \frac{e^{-\varphi(x)}}{\kappa(x,y)-1}$

更多的信息,请联系 gu@cs.stonybrook.edu

# 谢谢!